

# Ejemplos de uso de Qiskit y Braket

**Federico Holik**



**Curso UNAHUR  
11/11/2025**

1 Estados entrelazados

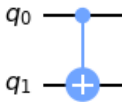
2 Interferómetro de Mach-Zender

## 1 Estados entrelazados

## 2 Interferómetro de Mach-Zender

# Compuertas Lógicas Cuánticas: Cnot

$$Cnot = \begin{pmatrix} 1 & 0 & 0 & 0 \\ 0 & 1 & 0 & 0 \\ 0 & 0 & 0 & 1 \\ 0 & 0 & 1 & 0 \end{pmatrix} \quad (1)$$

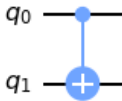


# Compuertas Lógicas Cuánticas: Cnot

Notación:  $|0\rangle \otimes |0\rangle := |00\rangle$

Base del espacio de dos qubits ( $\mathbb{C}^2 \otimes \mathbb{C}^2$ ):  $\{|00\rangle, |01\rangle, |10\rangle, |11\rangle\}$

$$Cnot = \begin{pmatrix} 1 & 0 & 0 & 0 \\ 0 & 1 & 0 & 0 \\ 0 & 0 & 0 & 1 \\ 0 & 0 & 1 & 0 \end{pmatrix} \quad (2)$$



# Table de verdad del Cnot (en la base computacional)

<b>Input 1</b>	<b>Input 2</b>	<b>Output 1</b>	<b>Output 2</b>
$ 0\rangle$	$ 0\rangle$	$ 0\rangle$	$ 0\rangle$
$ 0\rangle$	$ 1\rangle$	$ 0\rangle$	$ 1\rangle$
$ 1\rangle$	$ 0\rangle$	$ 1\rangle$	$ 1\rangle$
$ 1\rangle$	$ 1\rangle$	$ 1\rangle$	$ 0\rangle$

# Cnot combinado con Hadamard

Aplico primero Hadamard al primer qubit:

$$(H|0\rangle)|0\rangle = \frac{1}{\sqrt{2}}(|0\rangle + |1\rangle)|0\rangle = \frac{1}{\sqrt{2}}(|00\rangle + |10\rangle)$$

Luego, aplico Cnot (que combina a los dos qubits):

$$Cnot \frac{1}{\sqrt{2}}(|00\rangle + |10\rangle) = \frac{1}{\sqrt{2}}(Cnot|00\rangle + Cnot|10\rangle) = \frac{1}{\sqrt{2}}(|00\rangle + |11\rangle)$$

$$\frac{1}{\sqrt{2}}(|00\rangle + |11\rangle) \neq |\psi_1\rangle|\psi_2\rangle \implies \text{No separable} = \text{¡Entrelazado!}$$

# Cnot combinado con Hadamard y X

Aplicamos primero X a los dos qubits:

$$(X|0\rangle)(X|0\rangle) = |11\rangle$$

Aplico primero Hadamard al primer qubit:

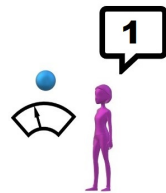
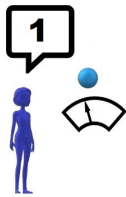
$$(H|1\rangle)|1\rangle = \frac{1}{\sqrt{2}}(|0\rangle - |1\rangle)|1\rangle = \frac{1}{\sqrt{2}}(|01\rangle - |11\rangle)$$

Luego, aplico Cnot (que combina a los dos qubits):

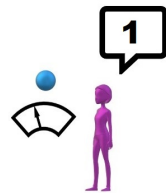
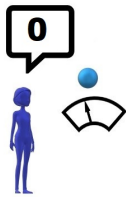
$$Cnot \frac{1}{\sqrt{2}}(|01\rangle - |11\rangle) = \frac{1}{\sqrt{2}}(Cnot|01\rangle - Cnot|11\rangle) = \frac{1}{\sqrt{2}}(|01\rangle - |10\rangle)$$

$$\frac{1}{\sqrt{2}}(|01\rangle - |10\rangle) \neq |\psi_1\rangle|\psi_2\rangle \implies \text{No separable} = \text{Entrelazado!}$$

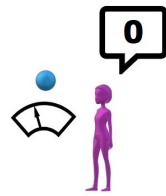
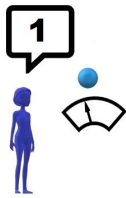
# Laboratorios rojo y azul



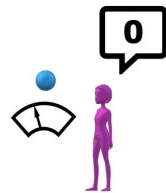
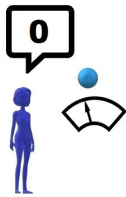
# Laboratorios rojo y azul



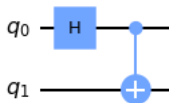
# Laboratorios rojo y azul



# Laboratorios rojo y azul



# Diagrama del circuito



Si preparamos al sistema en el estado:

$$Cnot(H|0\rangle|0\rangle) = \frac{1}{\sqrt{2}}(|00\rangle + |11\rangle)$$

(en la base computacional) sólo vamos a observar 00 y 11.

Si preparamos al sistema en el estado:

$$|Singlete\rangle = \frac{1}{\sqrt{2}}(|10\rangle - |01\rangle)$$

(en la base computacional) sólo vamos a observar 01 y 10.

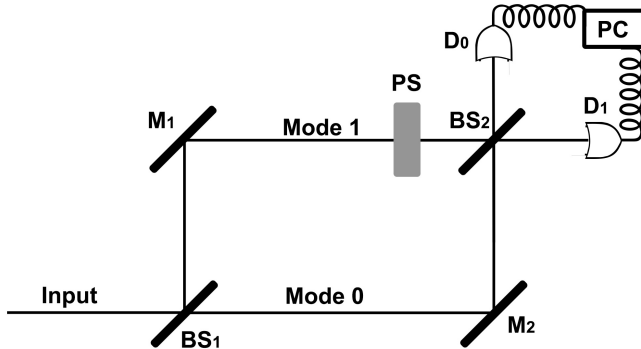
Ahora vemos ejemplos de cómo programar circuitos:

-  Qiskit
-  aws  
Amazon Braket

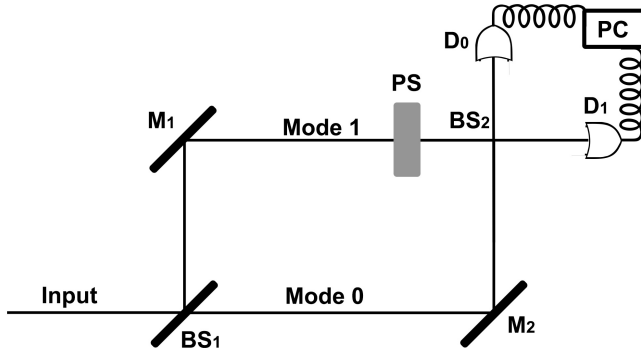
## 1 Estados entrelazados

## 2 Interferómetro de Mach-Zender

# Mach-Zender: medición de interferencia



# Mach-Zender: medición de camino



# Descripción matemática de lo que pasa

Brazo de abajo (Modo **0**):

$$|0\rangle = \begin{pmatrix} 1 \\ 0 \end{pmatrix} \quad (3)$$

Brazo de arriba (Modo **1**):

$$|1\rangle = \begin{pmatrix} 0 \\ 1 \end{pmatrix} \quad (4)$$

# Descripción matemática de lo que pasa

Los dos separadores de haz se representan por la matriz:

$$BS_1 = BS_2 = \frac{1}{\sqrt{2}} \begin{pmatrix} 1 & i \\ i & 1 \end{pmatrix} \quad (5)$$

y el phase shifter viene dado por:

$$PS = \begin{pmatrix} 1 & 0 \\ 0 & \exp i\Delta \end{pmatrix} \quad (6)$$

# Descripción matemática de lo que pasa

A la salida del primer divisor de haz:

$$|\psi_1\rangle = BS_1|0\rangle = \frac{1}{\sqrt{2}} \begin{pmatrix} 1 & i \\ i & 1 \end{pmatrix} \begin{pmatrix} 1 \\ 0 \end{pmatrix} = \begin{pmatrix} \frac{1}{\sqrt{2}} \\ \frac{i}{\sqrt{2}} \end{pmatrix} = \frac{1}{\sqrt{2}}(|0\rangle + i|1\rangle)$$

(7)

# Descripción matemática de lo que pasa

Luego, opera el phase shifter (cambiador de fase):

$$|\psi_2\rangle = PS|\psi_1\rangle = \begin{pmatrix} 1 & 0 \\ 0 & e^{i\Delta} \end{pmatrix} \begin{pmatrix} \frac{1}{\sqrt{2}} \\ \frac{i}{\sqrt{2}} \end{pmatrix} = \frac{1}{\sqrt{2}}(|0\rangle + ie^{i\Delta}|1\rangle) \quad (8)$$

# Descripción matemática de lo que pasa

Finalmente, aplico el segundo divisor de haz:

$$|\psi_3\rangle = BS_2|\psi_2\rangle = \frac{1}{\sqrt{2}} \begin{pmatrix} 1 & i \\ i & 1 \end{pmatrix} \begin{pmatrix} \frac{1}{\sqrt{2}} \\ \frac{ie^{i\Delta}}{\sqrt{2}} \end{pmatrix} = \left( \frac{1}{2}(1 - e^{i\Delta}) \right) \left( \frac{i}{2}(1 + e^{i\Delta}) \right) = \quad (9)$$

$$\frac{1}{2}((1 - e^{i\Delta})|0\rangle + i(1 + e^{i\Delta})|1\rangle) \quad (10)$$

# Descripción matemática de lo que pasa

El estado final queda:

$$|\psi_3\rangle = \frac{1}{2}((1 - e^{i\Delta})|0\rangle + i(1 + e^{i\Delta})|1\rangle) \quad (11)$$

$$|\psi_3\rangle = \frac{e^{i\frac{\Delta}{2}}}{2}((e^{-i\frac{\Delta}{2}} - e^{i\frac{\Delta}{2}})|0\rangle + i(e^{-i\frac{\Delta}{2}} + e^{i\frac{\Delta}{2}})|1\rangle) \quad (12)$$

# Descripción matemática de lo que pasa

$$|\psi_3\rangle = \frac{e^{i\frac{\Delta}{2}}}{2} ((e^{-i\frac{\Delta}{2}} - e^{i\frac{\Delta}{2}})|0\rangle + i(e^{-i\frac{\Delta}{2}} + e^{i\frac{\Delta}{2}})|1\rangle) \quad (13)$$

$$|\psi_3\rangle = ie^{i\frac{\Delta}{2}} ((-\sin(\frac{\Delta}{2}))|0\rangle + (\cos(\frac{\Delta}{2}))|1\rangle) \quad (14)$$

Uso que  $e^{i\frac{\Delta}{2}} = \cos(\frac{\Delta}{2}) + i \sin(\frac{\Delta}{2})$ :

$$e^{-i\frac{\Delta}{2}} - e^{i\frac{\Delta}{2}} = -2i \sin(\frac{\Delta}{2})$$

$$e^{-i\frac{\Delta}{2}} + e^{i\frac{\Delta}{2}} = 2 \cos(\frac{\Delta}{2})$$

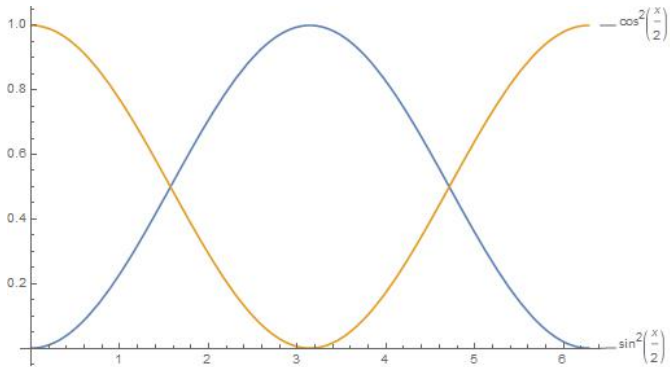
## Descripción matemática de lo que pasa

Por ende, las probabilidades de detección en  $D_1$  y  $D_2$  vienen dadas por:

$$P_0 = |\langle 0 | \psi_3 \rangle|^2 = \sin^2\left(\frac{\Delta}{2}\right) \quad (15)$$

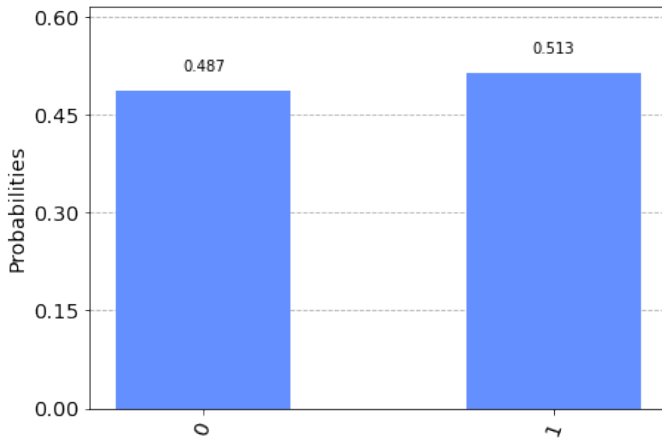
$$P_1 = |\langle 1 | \psi_3 \rangle|^2 = \cos^2\left(\frac{\Delta}{2}\right) \quad (16)$$

# Gráfico de las cuentas de fotones en función de la fase



# Cuentas de fotones para 1000 corridas ( $\Delta = \frac{\pi}{2}$ )

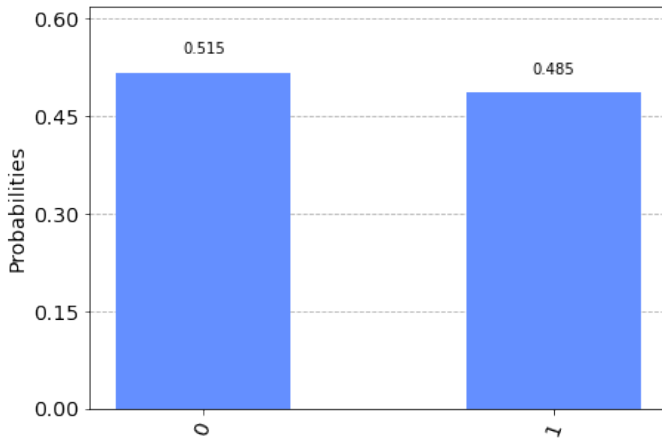
Photon counts: '0': 487, '1': 513



$$|\psi_3\rangle = ie^{i\frac{\pi}{4}} \left( -\frac{1}{\sqrt{2}}|0\rangle + \frac{1}{\sqrt{2}}|1\rangle \right) \quad (17)$$

# Cuentas de fotones para 1000 corridas ( $\Delta = \frac{\pi}{2}$ )

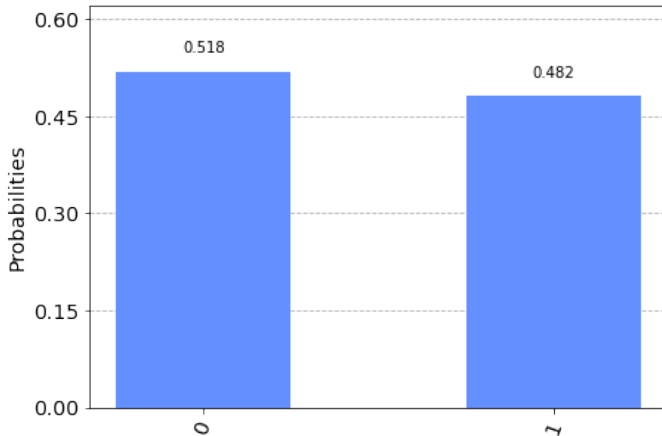
Photon counts: '0': 515, '1': 485



$$|\psi_3\rangle = ie^{i\frac{\pi}{4}} \left( -\frac{1}{\sqrt{2}}|0\rangle + \frac{1}{\sqrt{2}}|1\rangle \right) \quad (18)$$

# Cuentas de fotones para 1000 corridas ( $\Delta = \frac{\pi}{2}$ )

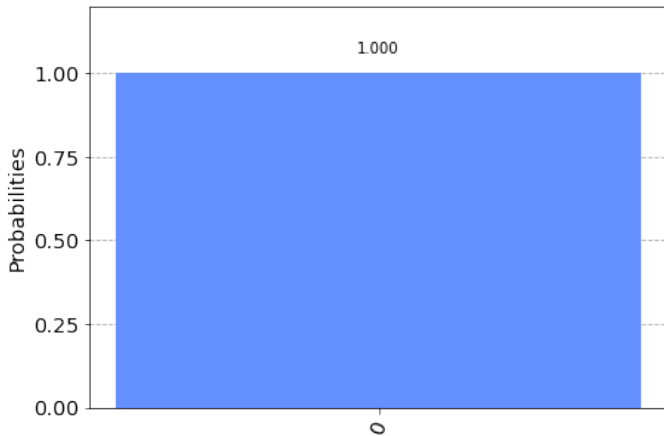
Photon counts: '0': 518, '1': 482



$$|\psi_3\rangle = ie^{i\frac{\pi}{4}} \left( -\frac{1}{\sqrt{2}}|0\rangle + \frac{1}{\sqrt{2}}|1\rangle \right) \quad (19)$$

# Cuentas de fotones para 1000 corridas ( $\Delta = \pi$ )

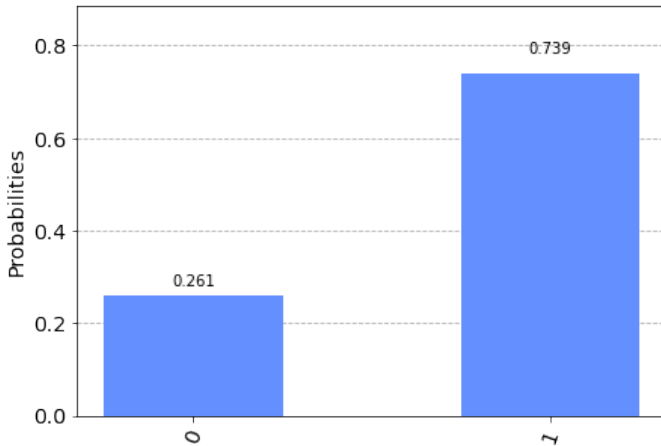
Photon counts: '0': 1000



$$|\psi_3\rangle = -ie^{i\frac{\pi}{2}}|0\rangle \quad (20)$$

# Cuentas de fotones para 1000 corridas ( $\Delta = \frac{\pi}{3}$ )

Photon counts: '0': 261, '1': 739



$$|\psi_3\rangle = ie^{i\frac{\pi}{6}} \left( \left(-\frac{1}{2}|0\rangle + \frac{\sqrt{3}}{2}|1\rangle\right) \right)$$

## Descripción matemática de lo que pasa

Si, por el contrario, hubiésemos implementado el contexto de detección de caminos, sólo tendríamos  $|\psi_2\rangle$ , y las probabilidades vendrían dadas por:

$$P_0 = |\langle 0 | \psi_2 \rangle|^2 = \frac{1}{2} \quad (22)$$

$$P_1 = |\langle 1 | \psi_2 \rangle|^2 = \frac{1}{2} \quad (23)$$